

45

И Н С Т И Т У Т  
ЯДЕРНОЙ ФИЗИКИ СОАН СССР

ПРЕПРИНТ И ЯФ 77 - 63

Г.Е.Векштейн

РАЗМЕРНЫЕ ОЦЕНКИ ВРЕМЕНИ  
ОСТЫВАНИЯ ПЛАЗМЫ С  $\beta \gg 1$

Новосибирск

1977



РАЗМЕРНЫЕ ОЦЕНКИ ВРЕМЕНИ ОСТЫВАНИЯ  
ПЛАЗМЫ С  $\beta \gg 1$ .

Г.Е.Венштейн

А Н Н О Т А Ц И Я

Рассмотрены различные режимы остывания плотной плазмы с большим  $\beta$ . Показано, что охлаждение такой плазмы существенно отличается от охлаждения плазмы малого давления, когда величина  $\beta \ll 1$ . Получены зависимости времени остывания от параметров плазмы и размеров системы.



Плазму с большим  $\beta$  предлагается использовать во многих системах, представляющих интерес для термоядерных исследований. В то же время свойства такой плазмы могут заметно отличаться от "привычных" уже свойств плазмы с малым  $\beta$ . Здесь мы рассмотрим некоторые особенности остывания плазмы с  $\beta \gg 1$  на примере следующей задачи. Пусть в начальный момент времени имеется однородная горячая плазма с температурой  $T_0$  и плотностью  $n_0$ , заполняющая длинную цилиндрическую трубу радиуса  $R$ . Стенки трубы имеют нулевую температуру. Труба помещается во внешнее однородное продольное магнитное поле  $H_0$ , причем его давление мало по сравнению с давлением плазмы:  $\beta_0 \equiv 16\pi n_0 T_0 / H_0^2 \gg 1$ . Роль магнитного поля сводится лишь к подавлению поперечной теплопроводности плазмы. Это означает, что плазма сильно замагничена, так что даже для ионов величина  $\delta_0 \equiv (\omega_{ni} \tau_i) \gg 1$  ( $\omega_{ni}$  - ионная циклотронная частота,  $\tau_i$  - время ион-ионных столкновений). Нетрудно проверить, что имеется широкая область параметров, где выполняются оба эти неравенства. Энергия плазмы уменьшается со временем из-за теплопроводности и тормозного излучения (его объемная мощность  $Q_r = An^2 T^{1/2}$ ). Вопрос состоит в определении времени остывания  $\tau_c$ , в течение которого плазма потеряет половину своей начальной тепловой энергии. Такая задача представляет интерес, например, для систем с т.н. "стеночным" (или "немагнитным") удержанием плазмы [1] или для установок со сжимающимся лайнером [2].

Специфика плазмы с  $\beta \gg 1$  в данном случае состоит в следующем. Так как представляющее практический интерес время удержания плазмы значительно превышает инерционное время  $R/c_s$  ( $c_s$  - скорость звука), то в каждый момент времени газокINETическое давление плазмы  $p = 2nT$  должно быть однородно по сечению трубы. Поэтому остывание плазмы с  $\beta \gg 1$  сопровождается перераспределением плотности по сечению, т.е. возникает течение плазмы от центра к стенкам. В случае же плазмы малого давления ( $\beta \ll 1$ ) ее остывание происходит при фиксированной плотности. Различные режимы остывания плазмы с большим  $\beta$  удобно видеть, рассматривая зависимость времени  $\tau_c$  от радиуса. Очевидно, что при малых  $R$  излучением можно пренебречь. Уравнение переноса тепла запишется тогда так [3]:



$$3 \frac{\partial(nT)}{\partial t} = - \frac{1}{r} \frac{\partial}{\partial r} r (5nTv - \kappa \frac{\partial T}{\partial r}) \quad (1)$$

( $v$  - скорость течения плазмы,  $\kappa$  - коэффициент теплопроводности). Видно, что течение плазмы вызывает дополнительный конвективный поток тепла из центра. Т.к. плотность энергии не зависит от  $r$ , то полный поток тепла

$$q = 5nTv - \kappa \frac{\partial T}{\partial r} \sim r$$

Вблизи стенки, где скорость плазмы обращается в нуль, главную роль играет теплопроводность. Толщина  $\Delta$  этого пристеночного слоя, как будет показано далее, много меньше  $R$ , так что там

$$q \approx - \kappa \frac{\partial T}{\partial r} \approx const \quad (2)$$

Рассмотрим структуру этого слоя. Теплопроводность плазмы существенно зависит от степени замагниченности ионов  $\delta = \omega_{ni} \tau_i \omega_{nT}^{1/2}$ . В свою очередь первоначально однородное магнитное поле деформируется при движении плазмы. Его изменение описывается таким уравнением: [3]

$$\frac{d}{dt} \left( \frac{H}{n} \right) = \frac{1}{nr} \frac{\partial}{\partial r} r \left( \frac{c^2}{4\pi\sigma} \frac{\partial H}{\partial r} + \frac{c \beta_{\perp}^{uT}}{en} \frac{\partial T}{\partial r} \right) \quad (3)$$

Здесь  $\sigma$  - проводимость плазмы, а  $\beta_{\perp}^{uT}$  - коэффициент, связанный с возникновением термо-ЭДС (эффект Нернста). В плазме с  $\beta \gg 1$  второй член в правой части этого уравнения является главным. Но вызываемое им нарушение замороженности магнитного поля в плазму оказывается в нашем случае малым:

$$\Delta \left( \frac{H}{n} \right) \sim \frac{H}{n} \left( \frac{m_e}{m_i} \right)^{1/2}$$

(Теплопроводность замагниченной плазмы определяется ионами, и соответствующее характерное время содержит малый параметр  $\left( \frac{m_e}{m_i} \right)^{1/2}$ ). Таким образом, магнитное поле выносится к стенкам вместе с плазмой, а отношение  $H/n$  не меняется. Тогда величина  $\delta = \delta_0 (T/T_0)^{3/2}$  и зависит только от температуры. При  $T > T_1 \sim T_0 \delta_0^{-2/3}$  плазма замагничена и ее теплопроводность  $\kappa \sim nT/m_i \omega_{ni}^2 \tau_i \sim n_0 \chi_0 (T_0/T)^{1/2}$  ( $n_0 \chi_0$  - теплопроводность горячей плазмы в центре). При  $T < T_1$  магнитное поле не влияет на перенос тепла и  $\kappa \sim n_0 \chi_0 \delta_0^2 (T/T_0)^{1/2}$ . Зная зависимость  $\kappa(T)$ , из уравнения (2) легко найти профиль  $T$  (и, тем самым,  $n$  и  $H$ ) в пристеночном слое. Запишем входящую в

(2) константу в виде

$$q = \lambda(t) n_0 \chi_0 T_0 / R$$

Тогда падение температуры от  $T_0$  до температуры стенки происходит в слое с толщиной  $\Delta \sim R/\lambda$ , а число частиц в этом слое  $N_{\Delta} \sim n_0 R^2 \delta_0^{1/3} / \lambda$ . Т.к.  $N_{\Delta}$  не может, очевидно, превышать полного числа частиц на единицу длины трубы, то поток тепла  $q$  на стенку должен быть достаточно большим:  $\lambda \geq \delta_0^{1/3} \gg 1$ . Но при  $\lambda \gg 1$  теплопроводность не может обеспечить нужного потока тепла из горячей плазмы. Это означает, что при  $T \sim T_0$  главную роль играет конвективный поток энергии, т.е. горячая плазма остывает за счет своего адиабатического расширения. Скорость расширения  $v_0 \sim \lambda \chi_0 / R$ . Для определения  $\lambda(t)$  нужно учесть баланс частиц между горячей плазмой и пристеночным слоем:

$$\frac{d}{dt} (N_{\Delta}) \sim n_0 v_0 R; \text{ т.е. } \lambda(t) \sim R \delta_0^{1/6} / \chi_0 t^{1/2} \quad (4)$$

Для энергетического времени жизни плазмы тогда получаем:

$$\tau_E \sim R^2 / \chi_0 \delta_0^{4/3} \quad (5)$$

При этом характерная скорость горячей плазмы  $v_0 \sim \delta_0^{1/3} \chi_0 / R$ , а толщина пристеночного слоя, где энергия передается на стенку за счет теплопроводности,  $\Delta \sim R / \delta_0^{1/3}$ . Число частиц в пристеночном слое  $N_{\Delta}$  за время  $\tau_E$ , становится, очевидно, порядка полного числа частиц на единицу длины.

Так происходит остывание плазмы, пока излучение мало. Заметим, что в плазме с большим  $\beta$  роль тормозных потерь возрастает, т.к. при условии  $nT = const$  его объемная мощность пропорциональна  $T^{-3/2}$  и становится большой в холодном пристеночном слое. Действительно, по полученному выше профилю температуры нетрудно вычислить полную мощность излучения из плазмы  $W_r = 2\pi \int Q_r r dr$ . Излучение из пристеночного слоя превышает излучение горячей плазмы, причем основной вклад в  $W_r$  дает область температур  $T \sim T_0 \delta_0^{2/3}$ , где величина  $\omega_{ni} \tau_i \sim 1$ :

$$W_r \sim n_0 T_0 R^2 \delta_0^{1/3} / \tau_r$$

(Здесь введено время радиационного остывания горячей плазмы

$$\tau_r = 3 n_0 T_0 / A n_0^2 T_0^{1/2}$$

Сравнивая  $W_r$  и  $q$ , получаем, что потери на излучение ста-



новятся существенными при  $R \geq (\chi_0 \tau_r)^{1/2}$ . Если же поперечный размер системы много больше  $(\chi_0 \tau_r)^{1/2}$ , то можно пренебречь диффузионным потоком тепла на стенку, а потери энергии описывать как движение радиационной "волны охлаждения" в плазме [4]. При этом пристеночный слой плазмы с низкой температурой быстро остывает из-за излучения и сжимается (т.к. давление должно оставаться однородным). Теплопроводность приводит к отбору тепла у следующего слоя плазмы, который, в свою очередь, остывает, сжимается и т.д. Излучаемая из переходного слоя энергия компенсируется конвективным потоком энергии из горячей плазмы. Обозначив скорость последней через  $v_0$ , для стационарной "волны охлаждения" (ее можно считать плоской) получим следующее уравнение:

$$5n_0 v_0 \frac{dT}{dx} = \frac{d}{dx} \left( \chi \frac{dT}{dx} \right) - Q_r \quad (6)$$

Скорость горячей плазмы  $v_0$  связана с полным излучением из переходного слоя:

$$v_0 = \int Q_r dx / 5n_0 T_0$$

Т.к. зависимость  $\chi(T)$  нам уже известна, то из (6) можно получить, что основной вклад в излучение вносит, как и раньше, область с температурой  $T \sim T_0 \delta_0^{-4/3}$ . При этом скорость расширения

$$v_0 \sim \delta_0^{1/3} (\chi_0 / \tau_r)^{1/2}$$

а время остывания

$$\tau_E \sim R / v_0 \sim R (\tau_r / \chi_0)^{1/2} \delta_0^{-4/3} \quad (7)$$

С увеличением  $R$  линейное возрастание  $\tau_E$  продолжается до тех пор, пока излучение из переходного слоя будет больше полного излучения из горячей плазмы, которое порядка  $n_0 T_0 R^2 / \tau_r$ . Это дает такое условие:  $R < \delta_0^{4/3} (\chi_0 \tau_r)^{1/2}$ . При больших  $R$  время остывания становится равным  $\tau_r$ .

Во всех полученных выше оценках мы полностью пренебрегали давлением магнитного поля, т.е. считали величину  $\beta_0$  достаточно большой. При этом время  $\tau_E$  вообще не зависит от  $\beta_0$ , а большим параметром в задаче является степень замагниченности горячей плазмы  $\delta_0$ . Предельный переход к плазме низкого давления ( $\beta_0 \leq 1$ ) происходит следующим образом. Так как магнитное

поле заморожено в плазму, то его давление растет с уменьшением температуры от центра к стенкам:

$$\frac{H^2}{8\pi} = \frac{H_0^2}{8\pi} \left( n/n_0 \right)^2 = \frac{H_0^2}{8\pi} \left( T_0/T \right)^2$$

и при  $T \sim \tilde{T} \sim T_0 \beta_0^{-1/2}$  сравнивается с давлением плазмы. Из условия однородности полного давления  $2nT + H^2/8\pi$  тогда следует, что при  $T < \tilde{T}$  плотность  $n$  и магнитное поле  $H$  будут постоянными, а величина  $\beta < 1$ . Очевидно, что полученные оценки останутся справедливыми, если температура  $\tilde{T} \leq T_1$ , или

$$\beta_0^{1/2} \geq \delta_0^{2/3}$$

В противоположном случае определяющей становится область температур  $T \sim T_0 \beta_0^{-1/2}$ , и в оценках времени  $\tau_E$  параметр  $\delta_0^{4/3}$  нужно заменить на  $\beta_0^{4/3}$ . Качественный вид зависимости  $\tau_E(R)$  для плазмы с  $\beta_0 \gg 1$  приведен, для наглядности, на рис. 1.

Полученные особенности остывания плазмы с большим  $\beta$  связаны, как нетрудно видеть, с конкретной зависимостью классической кулоновской теплопроводности плазмы от  $n, T$  и  $H$ . Здесь существенно, что теплопроводность замагниченной плазмы возрастает при уменьшении температуры. При другой зависимости  $\chi(n, T, H)$ , например, типа боровской, когда  $\chi \propto nT/H$ , теплопроводность горячей плазмы велика, и этих эффектов нет.

В заключение отметим, что приведенные выше оценки времени остывания плазмы с  $\beta \gg 1$  хорошо согласуются с результатами численных решений уравнений переноса в плазме [5, 6].



Л и т е р а т у р а

1. G.I. Budker, 6 Europ. Conf. on Plasma Physics, 2, 136, Moscow, 1973.
2. E.P. Velikhov, Comments on Plasma Physics and STP, 1, 171, 1972.
3. С.И. Брагинский. В сб. "Вопросы теории плазмы", I, 183, Атомиздат, Москва, 1963.
4. Г.Е. Векштейн. ПМТФ, 6, 3, 1976.
5. Г.Е. Векштейн, В.В. Мирнов, Д.Д. Рютов, П.В. Чеботаев. Доклад СМ-35/Е-21 на VI Межд. конф. по физике плазмы, Берхтесгаден, ФРГ, 1976.
6. В.К. Jensen. Phys. Fluids, 20, 373, 1977.

$\tau_E$

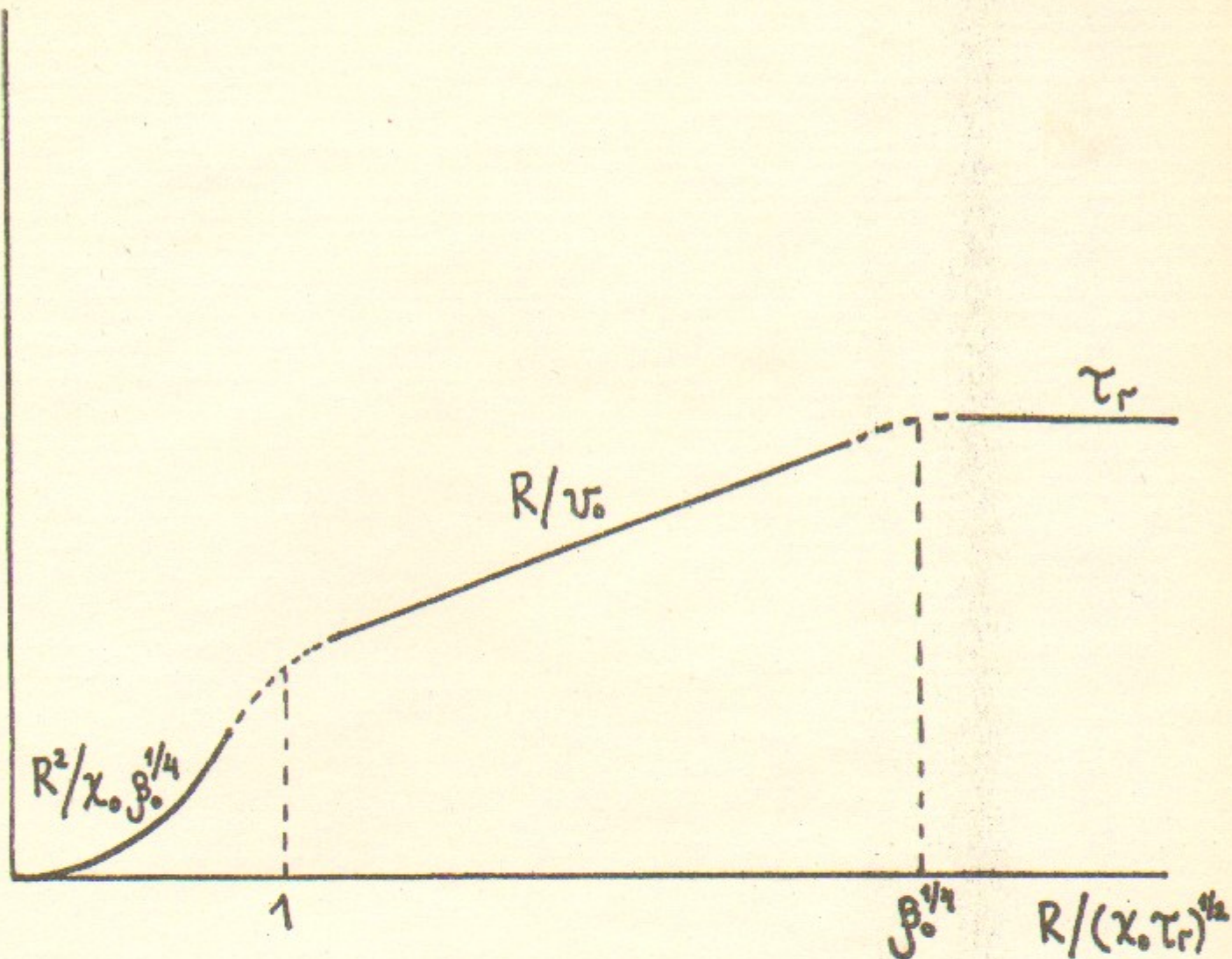


Рис. 1.



Работа поступила - 3 апреля 1977 г.

---

Ответственный за выпуск - С.Г. ПОПОВ  
Подписано к печати 5.7-1977г. МН 07455  
Усл. 0;5 печ.л.; 0;4 учетно-изд.л.  
Тираж 170 экз., Бесплатно  
Заказ № 63.

---

Отпечатано на ротарных ИЯИ СО АН СССР